

# UNIVERSITÉ GRENOBLE-ALPES

## THÈSE

Pour obtenir le grade de

## DOCTEUR DE L'UNIVERSITÉ DE GRENOBLE-ALPES

Spécialité : **Modèles, méthodes et algorithmes en biologie, santé et environnement**

Arrêté ministériel : ?

Présentée par

**Thomas Karaouzene**

Thèse dirigée par **Pierre Ray**

Thèse co-dirigée par **Nicolas Thierry-Mieg**

préparée au sein du laboratoire  
et de l'école doctorale "**Ingénierie de la Santé, de la Cognition et Environnement**" (EDISCE)

**Écrire le titre de la thèse ici**

Thèse soutenue publiquement le 31 octobre 2017,  
devant le jury composé de :



**Université  
Grenoble  
Alpes**



# Préface

This is an example of a thesis setup to use the reed thesis document class (for LaTeX) and the R bookdown package, in general.



# Table des matières

<b>Chapitre 1 : Delete line 6 if you only have one advisor . . . . .</b>	<b>1</b>
<b>Remerciements . . . . .</b>	<b>3</b>
<b>Résumé . . . . .</b>	<b>5</b>
<b>Chapitre 2 : Introduction . . . . .</b>	<b>7</b>
<b>Chapitre 3 : Investigation génétique et physiologique de la globo- zoospermie . . . . .</b>	<b>9</b>
<b>Chapitre 4 : Mise en place d’une stratégie pour l’analyse des données exomiques – application en recherche clinique . . . . .</b>	<b>11</b>
4.1 Intro . . . . .	11
4.2 Résultats . . . . .	12
4.2.1 Description de la pipeline . . . . .	12
4.2.2 Utilisation du pipeline dans des cas familiaux : . . . . .	15
Description des familles . . . . .	15
Resultats des exomes . . . . .	16
Discussion . . . . .	29
4.2.3 Etude d’une large cohorte de patients MMAF . . . . .	32
Description de la cohorte . . . . .	32
Application de la pipeline - Résultats . . . . .	33
Analyse des listes de gènes . . . . .	35
Disscution . . . . .	41
4.3 Conclusion . . . . .	41
<b>Chapitre 5 : MutaScript . . . . .</b>	<b>43</b>
<b>Conclusion . . . . .</b>	<b>45</b>
<b>Chapitre 6 : The First Appendix . . . . .</b>	<b>47</b>
<b>References . . . . .</b>	<b>49</b>



# Liste des tableaux

4.1	Liste simplifiée des conséquences prédites par VEP avec leur description et impact associée . . . . .	14
4.2	Tableau récapitulatif des familles séquencées et de leur phénotype . .	15
4.3	Liste des gènes ayant passé l'ensemble des filtres pour chaque famille	29
4.4	Liste des différents projets de séquençages effectués . . . . .	32
4.5	liste des variants passant les filtres et chevauchant le gène *DNAH1*	37
4.6	liste des variants passant les filtres et chevauchant le gène *WDR96*	40
4.7	liste des variants passant les filtres et chevauchant le gène *WDR52*	40
4.8	liste des variants passant les filtres et chevauchant le gène *FSIP2* .	40









# Chapitre 1

Delete line 6 if you only have one advisor



# Remerciements



# Résumé





# Chapitre 2

## Introduction



## Chapitre 3

### Investigation génétique et physiologique de la globozoospermie



# Chapitre 4

## Mise en place d'une stratégie pour l'analyse des données exomiques – application en recherche clinique

### 4.1 Intro

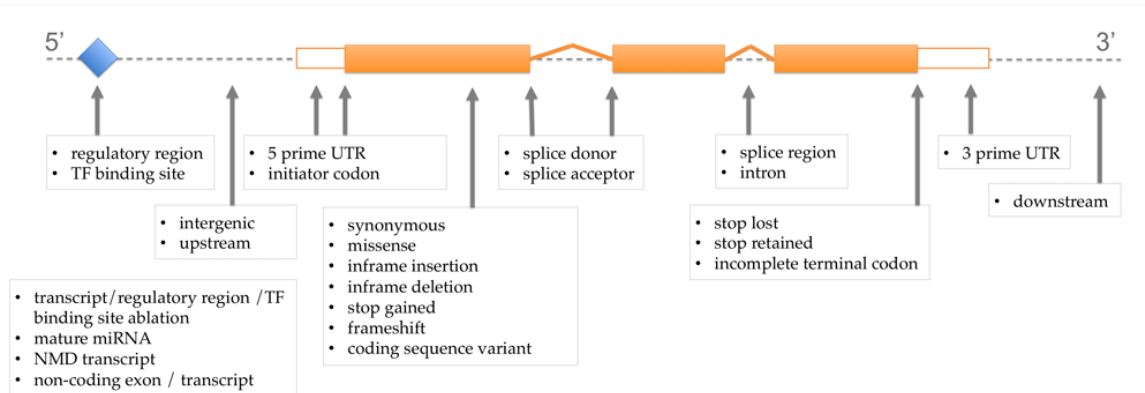
## 4.2 Résultats

### 4.2.1 Description de la pipeline

Notre pipeline d'analyse effectue l'ensemble des étapes allant de l'alignement des données jusqu'au filtrage des variants

1. **L'alignement** : L'alignement des *reads* le long du génome de référence est effectué par le logiciel MAGIC (Su et al., 2014). Celui-ci l'intégralité pour l'ensemble des analyses en aval l'ensemble des *reads* dupliqués et / ou s'alignant à plusieurs zones du génome. Au cours de cette étape, MAGIC va produire également quatre comptages pour chaque position couverte du génome : R+, V+, R- et V- :
  - a. **R+ et R-** : Ces deux comptages correspondent au nombre de *reads forward* (+) et *reverse* (-) sur lesquels est observé l'allèle de **référence** (R) à une position donnée.
  - b. **V+ et V-** : À l'inverse de R+ et R-, ces comptages correspondent au nombre de *reads forward* et *reverse* sur lesquels est observé un allèle de **variant** (V) à une position donnée.
2. **L'appel des variants** : Comme nous l'avons vu plus tôt, il est fortement conseillé d'effectuer l'appel des variants en tenant compte de l'aligneur choisi (Nielsen, Paul, Albrechtsen, & Song, 2011, M. A. DePristo et al. (2011), Lunter & Goodson (2011)). C'est pourquoi, nous avons conçu notre propre algorithme d'appel des variants spécialement conçu pour l'analyse des données de MAGIC. Ainsi, l'appel des variants sera directement basé sur les quatre comptages vus précédemment. Tout d'abord, les positions ayant une couverture  $< 10$  sur l'un des deux *strands* sera considérée comme de faible qualité, celles ayant une couverture  $< 10$  sur les deux *strands* seront exclus. Ensuite pour chaque variant, des appels indépendants seront effectués pour chaque *strand*. L'appel final sera une synthèse de ces deux appels où seul les cas où ces deux appels sont concordants seront considérés comme de bonne qualité.
3. **L'annotation** : Chaque variant retenu sera ensuite annoté tout d'abord par le logiciel *variant effect predictor* (VEP) (W. McLaren et al., 2016) qui nous indiquera pour chaque variant la conséquence que celui-ci aura sur la séquence codante de l'ensemble des transcrits Ensembl qu'il chevauche (**Figure** : 4.1) (**Table** : 4.1). Suite à cela nous ajoutons, lorsque celle-ci est disponible, la fréquence du variant dans les bases de données ExAC (Lek et al., 2016), ESP600 [TODO] et 1000Genomes [TODO] donnant ainsi une estimation de sa fréquence dans la population générale. De même, la particularité de ce pipeline est qu'elle

conserve l'ensemble des variants identifiés dans les études effectuées précédemment permettant d'ajouter aux annotations la fréquence d'un variant chez les individus déjà séquencé et donc la fréquence d'un variant dans chaque phénotype étudié créant ainsi une base de données interne qui pourra servir de contrôle dans les études ultérieures.



**Figure 4.1** – Listes des différentes conséquences prédites par VEP et leur positionnement sur le transcript d'après [VEP site](<http://www.ensembl.org/info/genome/variation/consequences.jpg>)

4. **Le filtrage des variants** : L'étape de filtrage est extrêmement importante si l'on souhaite analyser de manière efficace les données provenant de WES. C'est pourquoi elle occupe une place importante dans notre pipeline. L'intégralité des paramètres de cette étape peuvent être modifiés par l'utilisateur de sorte à faire correspondre les critères de filtre aux besoins de l'étude. Afin de rendre son utilisation la plus efficace possible, nous avons souhaité définir des paramètres par défauts pertinents dans la plupart des études de séquençage exomique de sorte que, à moins que le contraire ne soit spécifié, seuls les variants impactant les transcrits codant pour une protéine sont conservés. De même, les variants synonymes ou affectant les séquences UTRs sont filtrés, ainsi que les variants ayant une fréquence  $\geq 1\%$  dans les bases de données (ExAC, ESP6500 ou 1KH). Aussi, pour un phénotype donné, l'ensemble des variants observés chez les individus étudiés présentant un phénotype différent sont de même enlevés de la liste finale.

**Table 4.1** – Liste simplifiée des conséquences prédites par VEP avec leur description et impact associée

VEP consequence	VEP impact	Description
Splice acceptor / donor	HIGH	A splice variant that changes the 2 base region at the 3' / 5' end of an intron
Stop gained	HIGH	A sequence variant whereby at least one base of a codon is changed, resulting in a premature stop codon, leading to a shortened transcript
Frameshift	HIGH	A sequence variant which causes a disruption of the translational reading frame, because the number of nucleotides inserted or deleted is not a multiple of three
Stop lost	HIGH	A sequence variant where at least one base of the terminator codon (stop) is changed, resulting in an elongated transcript
Start lost	HIGH	A codon variant that changes at least one base of the canonical start codon
Inframe insertion / deletion	MODERATE	An inframe non synonymous variant that inserts / deletes bases into in the coding sequence
Missense	MODERATE	A sequence variant, that changes one or more bases, resulting in a different amino acid sequence but where the length is preserved
Splice region	LOW	A sequence variant in which a change has occurred within the region of the splice site, either within 1-3 bases of the exon or 3-8 bases of the intron
Stop retained	LOW	A sequence variant where at least one base in the terminator codon is changed, but the terminator remains
Synonymous	LOW	A sequence variant where there is no resulting change to the encoded amino acid
5' / 3' prime UTR	MODIFIER	A UTR variant of the 5' / 3' UTR
Intron	MODIFIER	A transcript variant occurring within an intron
NMD transcript	MODIFIER	A variant in a transcript that is the target of NMD
Non coding transcript	MODIFIER	A transcript variant of a non coding RNA gene



## 4.2.2 Utilisation du pipeline dans des cas familiaux :

### Description des familles

Dans cette partie, je me concentre sur l'analyse bioinformatique des résultats des séquençages exomiques effectués entre 2012 et 2014 de 13 individus infertiles provenant de 6 familles différentes. Parmi celles-ci, 3 phénotypes différents ont été observés :

1. **L'Azoospermie** : Comme nous avons pu le voir, l'azoospermie est un phénotype d'infertilité masculine caractérisé par l'absence de spermatozoïde dans l'éjaculat
2. **Échec de fécondation** : Ce phénotype d'infertilité se caractérise par l'incapacité des spermatozoïdes à féconder l'ovocyte.
3. **MMAF** : Le syndrome MMAF (*multiple morphological abnormalities of the sperm flagella*) caractérise comme son nom l'indique les patients présentant une majorité de spermatozoïdes atteints par une mosaïque d'anomalie morphologique du flagelle.

Un récapitulatif des familles et de leur phénotype est disponible dans la table 4.2.

**Table 4.2** – Tableau récapitulatif des familles séquencées et de leur phénotype

Familly	Individuals	Phenotype	Year	Place
Az	2	Azoospermia	2012	Mount Sinai Institut
FF	2	Fertilization failure	2014	Genoscope (Evry)
MMAF1	2	MMAF	2014	Genoscope (Evry)
MMAF2	2	MMAF	2014	Genoscope (Evry)
MMAF3	2	MMAF	2014	Genoscope (Evry)
MMAF4	3	MMAF	2014	Genoscope (Evry)

## Resultats des exomes

**Résultat de l'alignement** Pour rappel, l'alignement consiste à repositionner l'ensemble des *reads* générés au cours de l'étape de séquençage le long d'un génome de référence.

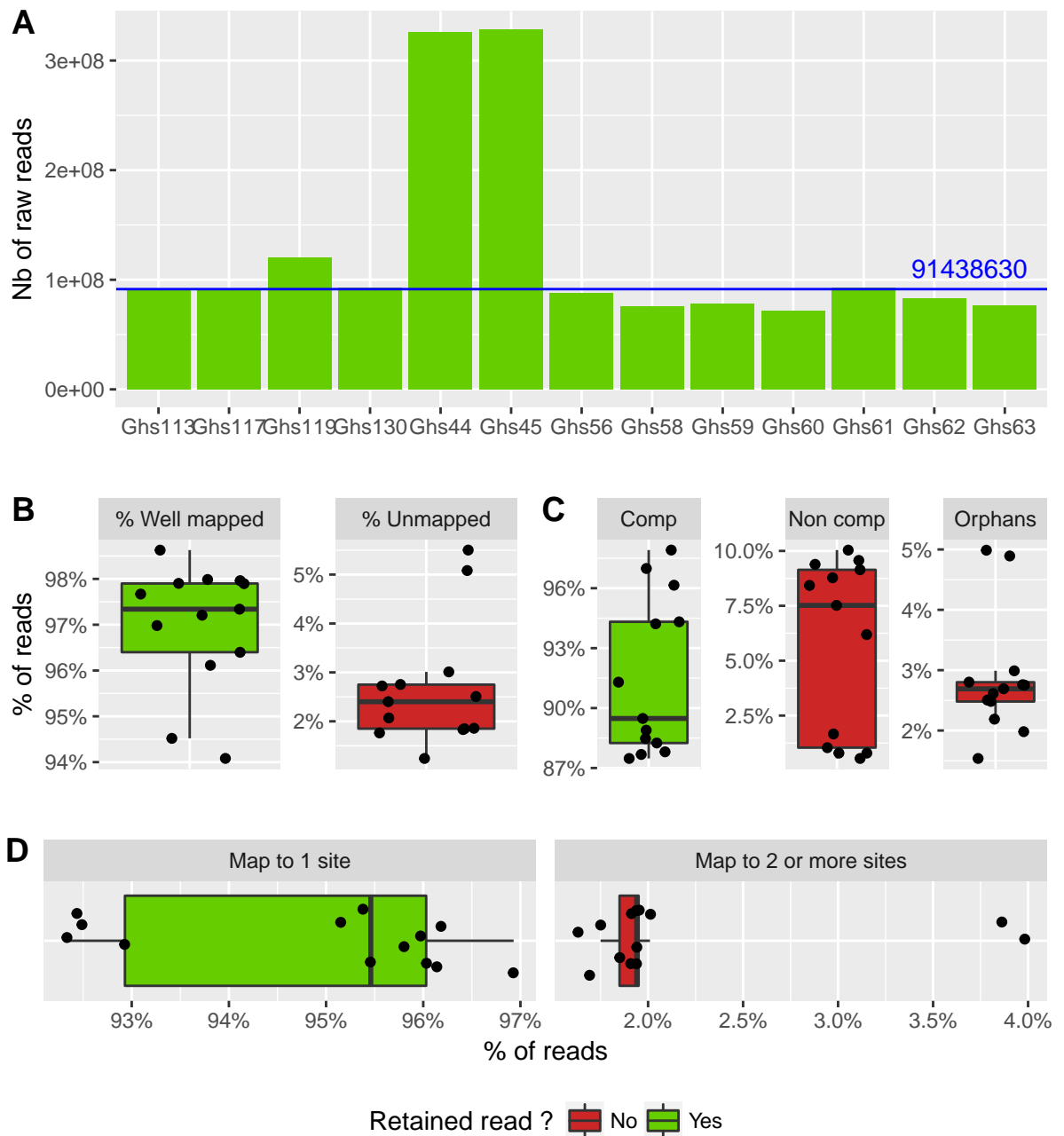
La quantité de *reads* composant les exomes de chaque individu peut varier en fonction de plusieurs paramètres et n'est donc pas égale pour chaque patient bien que l'ordre de grandeur reste le même exceptés, c'est à dire une médiane de 91438630 *reads*. Seul les deux frères AZ1 et AZ2 se distinguent près de 3 fois plus de *reads* que pour les autres patients. Cette différence peut être expliquée car ces deux patients sont les deux seuls à avoir été séquençé au Mount Sinai Institut or leur protocole d'amplification précédent le séquençage contient un nombre de cycles de PCR supérieur à ceux appliqué au Génomex d'Évry où ont été séquençés les autres patients (**Table : 4.2, Figure : 4.2 - A**).

L'ensemble de nos exomes ayant été réalisés en *paired-end*, les deux extrémités de chaque fragment sont séquençées chaque *end* d'un même *read* peut donc être considéré comme un *read* à part entière qui sont alignées **indépendamment** le long du génome de référence. L'information fournie par le *paired-end* n'étant utilisée qu'à *posteriori* en tant que critère qualité. La première étape du contrôle qualité des *reads* consiste à filtrer les *reads* ne s'étant pas alignés sur le génome. Ces *reads* sont extrêmement minoritaires puisqu'ils représentent entre 1.2 et 5.5 % des *reads* de nos individus (**Figure : 4.2 - B**).

Une fois cela fait, nous vérifions la "compatibilité" des deux *ends* composant chacun des *reads* s'étant correctement alignés. Un *reads* est dit compatible lorsque les deux *ends* qui le composent s'alignent face à face (une sur le *strand* + et l'autre sur le *strand* -) et couvrent une zone ne faisant pas plus de 3 fois la taille médiane de l'insert. Les *reads* dont les deux *ends* se sont alignés mais ne remplissant pas ces conditions seront dit "Non compatible", ceux dont une seule des deux *ends* s'est alignée seront appelés "orphelins". Dans nos analyses, seuls les *reads* compatibles sont conservés, c'est à dire environ ... % (médiane) des *reads* s'étant correctement alignés. (**Figure : 4.2 - C**).

La dernière étape de ce contrôle-qualité consiste à analyser le nombre de sites auxquels se sont alignés les *reads*. En effet, certaines zones du génome étant dupliquées, l'une des problématiques des *short-reads* est qu'il est possible que ceux-ci s'alignent à plusieurs régions différentes du génome. Afin d'éviter toute ambiguïté, seuls ceux s'étant alignés sur un site unique sont conservés pour la suite des analyses. Ces *reads* représentent entre 92.3 et 96.9 % des *reads* ayant passé les précédents filtres (**Figure : 4.2 - C**).

Les *reads* ayant passé l'ensemble des critères qualité mentionnés précédemment seront ensuite utilisés pour effectuer l'appel des variants.



**Figure 4.2** – Processus simplifié du contrôle qualité des \*reads\* : Pour chacun des graphiques, les \*reads\* représentés en vert sont conservés tandis que ceux en rouge sont filtrés. **A** : Quantité de \*reads\* bruts générés pour chaque patient au cours de l'étape de séquençage. La médiane des \*reads\* est représentée en bleue. **B** : Pourcentage pour chaque individu de \*reads\* s'étant aligné correctement et ne s'étant pas alignés sur le génome de référence. **C** : Distribution pour chaque patient des \*reads\* compatibles (Comp), non compatibles (Non comp) et orphelins (Orphans). **D** : Présentation pour chaque \*reads\* du nombre de site auxquels ils s'alignent

**Résultat de l'appel des variants** Comme dit précédemment, l'appel des variants fait suite à l'alignement et consiste à comparer la séquence d'un individu avec celle d'un génome de référence afin d'en relever les différences. La particularité de notre algorithme d'appel est d'effectuer pour chaque position deux appels indépendants. Le premier sera effectué en utilisant uniquement les *reads forward* et le second le *reads reverse*. Encore une fois, plusieurs filtres sont appliqués de sorte à conserver uniquement les variants les plus qualitatifs.

Tout d'abord, nos appels sont classés en trois catégories :

1. **Les appels *double strand* (DS) :** Qualifie les positions ayant une couverture  $\geq 10$  sur les **deux** strands. Ces appels sont ceux ayant la meilleure qualité
2. **Les appels *single strand* (SS) :** Ces appels définissent les positions pour lesquels **un des deux** *strands* présentent une couverture  $\leq 10$ . Dans ce cas, ce *strand* est ignoré et l'appel est effectué uniquement en utilisant le second *strand*.
3. **Les appels *non strand* (NS) :** Les positions NS sont celles pour lesquelles la couverture est  $\leq 10$  sur les **deux** strands. Aucun appel n'est effectué à ces positions.

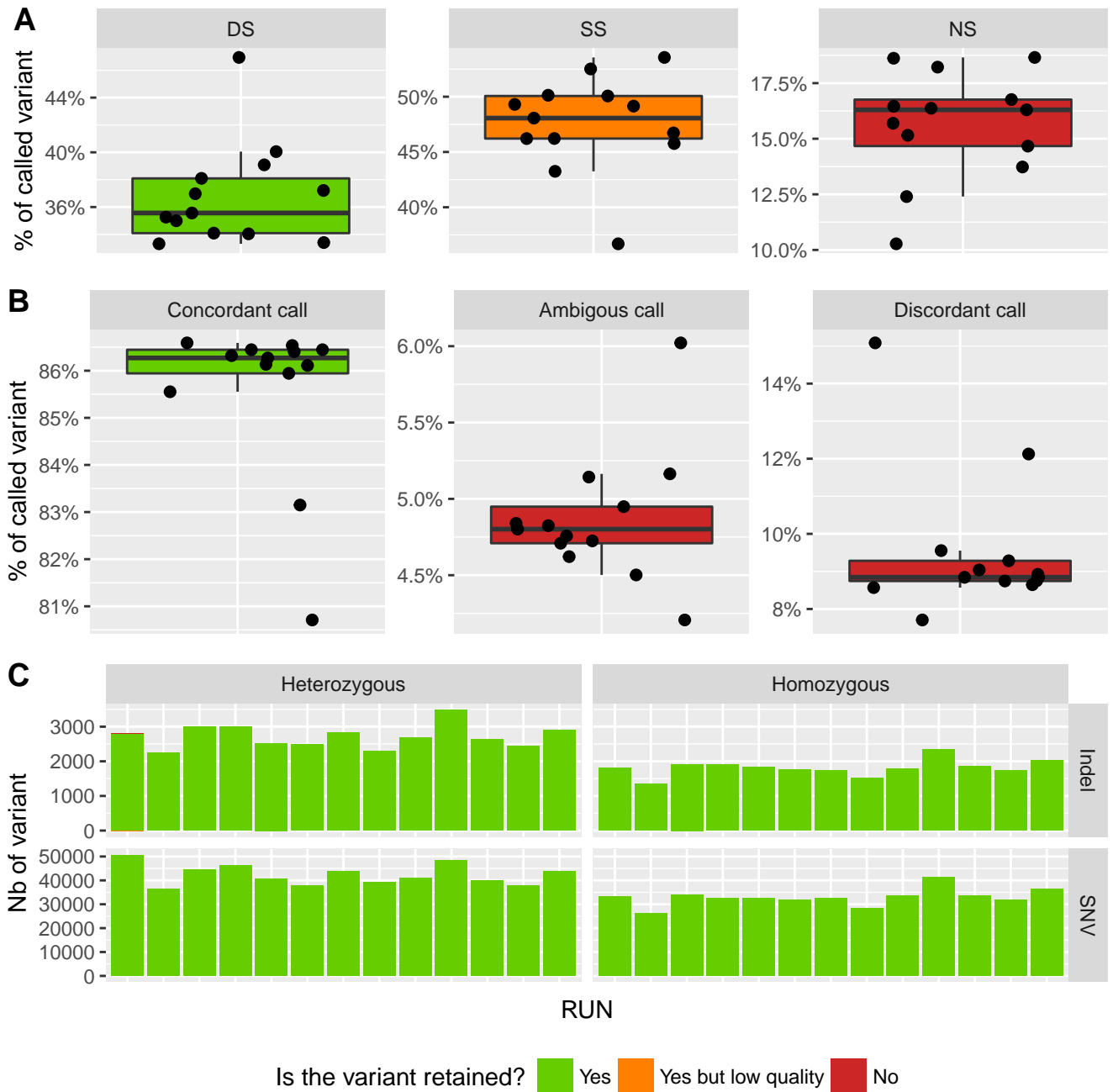
Dans nos données, les appels SS sont majoritaires et représentent environ 48.1 % de nos appels (contre 35.6 % d'appels DS). Au vu de l'importance de ces appels, nous avons fait le choix de les conserver afin de ne pas filtrer une quantité trop importante de données. Ces appels seront cependant considérés comme étant de faible qualité, de fait, leurs analyses et interprétation seront plus précautionneuses. En revanche, au vu de la trop grande incertitude de l'appel des variants NS, ceux-ci sont systématiquement filtrés éliminant ainsi entre 10.3 et 18.7 % des positions appelées (**Figure : 4.3 - A**).

Un second filtre est appliqué aux variants ayant été précédemment appelés DS. Celui-ci consiste à comparer les appels effectués indépendamment sur chacune des deux *ends* et à vérifier leur concordance, c'est à dire que les deux appels soit identique. Les appels discordant et ambigus sont filtrés, ainsi environ 86.3 % des variants DS passent ce filtre. Il est intéressant de noter que bien que les variants *single strand* (SS) soient conservés, on peut s'attendre à ce qu'environ 13.7 % de ceux-ci soient aberrants, ceux-ci n'ayant pu subir le même contrôle que les SS (**Figure : 4.3 - B**).

Pour l'ensemble des variants ayant passé les filtres énoncés ci-dessus, c'est à dire les variants SS et les variants DS avec appels concordants, le génotype est déterminé en fonction du pourcentage de *reads* portant le variant à cette position. Par exemple, si à une position donnée, 0% des *reads* portent un variant, l'individu sera appelé "Homozygote référence", si 50% des *reads* sont portent un variant, l'appel sera "hétérozygote" et si 100% des *reads* portent un variant, l'appel sera "Homozygote variant". Ainsi, pour chaque individu nous avons pu établir une liste de SNVs et d'indels avec leur génotype associé. Pour chacun de nos 13 patients les ordres de grandeur du nombre de variants

---

appelés sont identique. Ainsi pour chaque patient nous avons appelés environ 43670 variants hétérozygotes (41044 SNVs et 2626 indels) et 65040 variants homozygotes (32520 SNVs et 1809 indels) (**Figure : 4.3 - C**).



**Figure 4.3** – Contrôle qualité des variants appelés : Pour chacun des graphiques, les variants représentés en vert et en orange sont conservés tandis que ceux en rouge sont filtrés. **\*\*A\*\*** : Distribution du \*stranding\* des appels pour chaque patient. **\*\*B\*\*** : Comparaison des appels entre les deux \*ends\* des variants appelés DS. **\*\*C\*\*** : Distribution des SNVs et indels en fonction de leur génotype pour chaque patients (représentés par une barre

**Résultats de l'annotation** L'annotation des variants appelés consiste à ajouter un maximum d'informations sur les variants. Ces informations seront ensuite utilisées afin de filtrer et / ou prioriser les variants. Dans ces analyses nous avons utilisé le logiciel *Variant Effect Predictor* (VEP) (W. McLaren et al., 2016) qui va à la fois prédire l'effet qu'auront ces variants sur l'ensemble des transcrits (et gènes) qu'ils chevauchent, ajouter, lorsqu'elle est disponible, la fréquence de chacun de ces variants dans les bases de données ExAC, 1000Genomes (1KG) et ESP6500. Pour finir VEP nous permettra de connaître les prédictions de pathogénicités fournies par SIFT et PolyPhen pour les variants faux-sens.

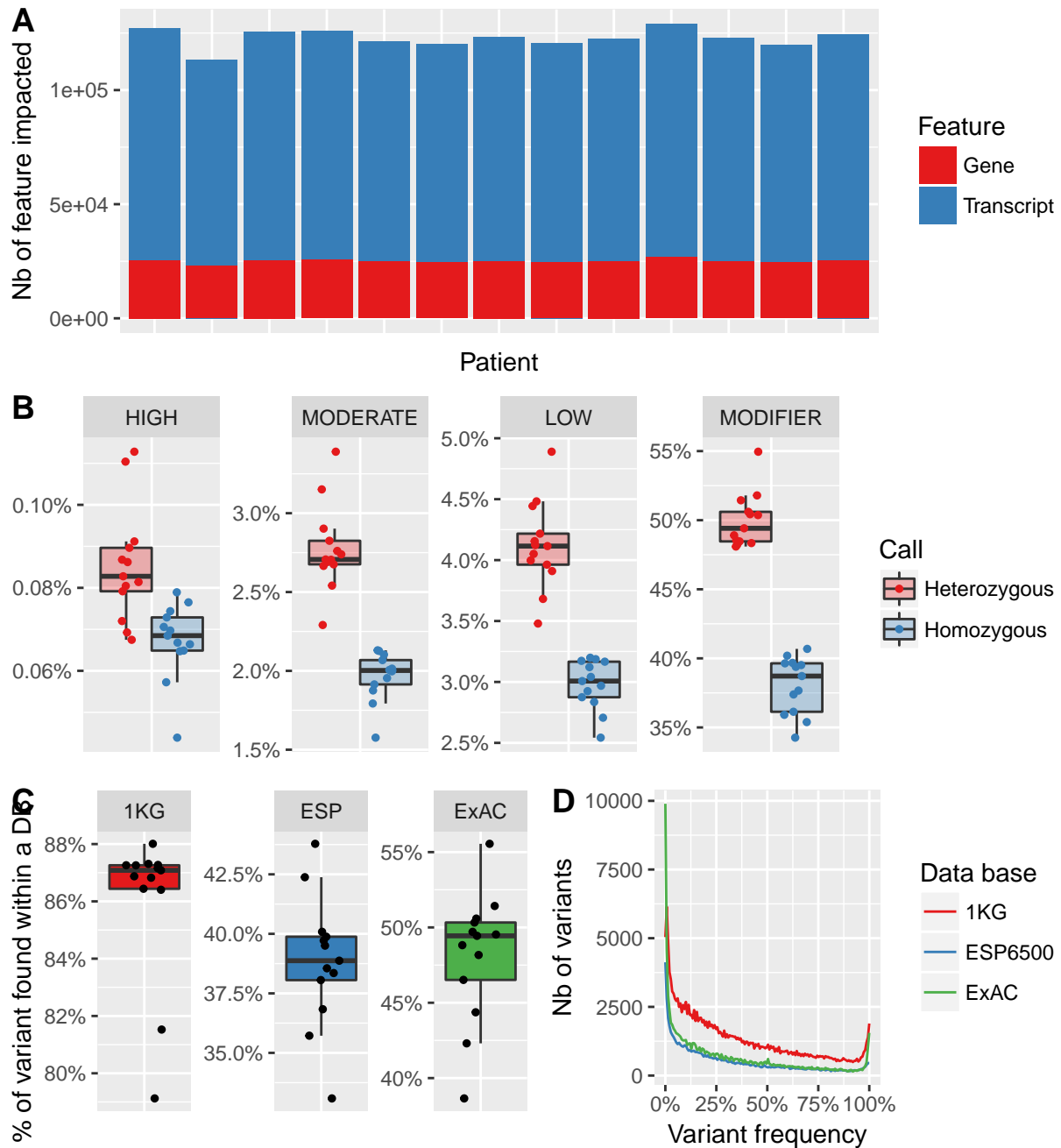
Après avoir annoter nos variants par VEP, nous avons pu constater que pour chaque patient 24975 gènes sont en moyenne affecté par au moins un variant pour en moyenne 122735 transcrits (soit environs 5 transcrits par gènes) (**Figure : 4.4 - A**).

Chaque variant affectera l'ensemble des transcrits qu'il chevauche, ainsi un même variant pourra impacter plusieurs transcrits. Ces impacts sont ensuite classés par VEP en quatre catégories qui sont, de la plus délétère à la moins délétère : HIGH, MODERATE, LOW, MODIFIER (**Table :4.1**). Comme attendu, les variants ayant un impact tronquant se retrouvent être les moins fréquent chez chacun de nos patients. Ceci est d'autant plus flagrant pour l'impact HIGH qui regroupe, entre autres, les variants créant un codon stop ou encore ceux causant un décalage du cadre de lecture (**Table :4.1**), se retrouvent en quantité extrêmement faible puisqu'ils ne représentent en moyenne que 0.15 % des variants, soit une moyenne de 466 hétérozygotes et 370 homozygotes par patient) (**Figure : 4.4 - B**).

Parmi ces variants, certains étaient déjà recensés dans une des trois base donnée (ExAC, ESP et 1KG). Ainsi, on peut observer qu'entre 38.6 et 55.5 % de nos variant étaient listés dans ExAC et entre 33.1 et 43.8 % dans ESP. En revanche environ 87.1 % d'entre eux sont recensés dans 1KG (**Figure : 4.4 - C**) (À discuter!!!!).

(À discuter!!!!) (**Figure : 4.4 - D**)

LES FIGURES SUR LA FRÉQUENCE SONT À DISCUTER CAR LEUR INTERPRÉTATION ME LAISSE PERPLEX (SURTOUT LA PROPORTION DE NOS VARIANTS PRÉSENTS DANS 1KG)



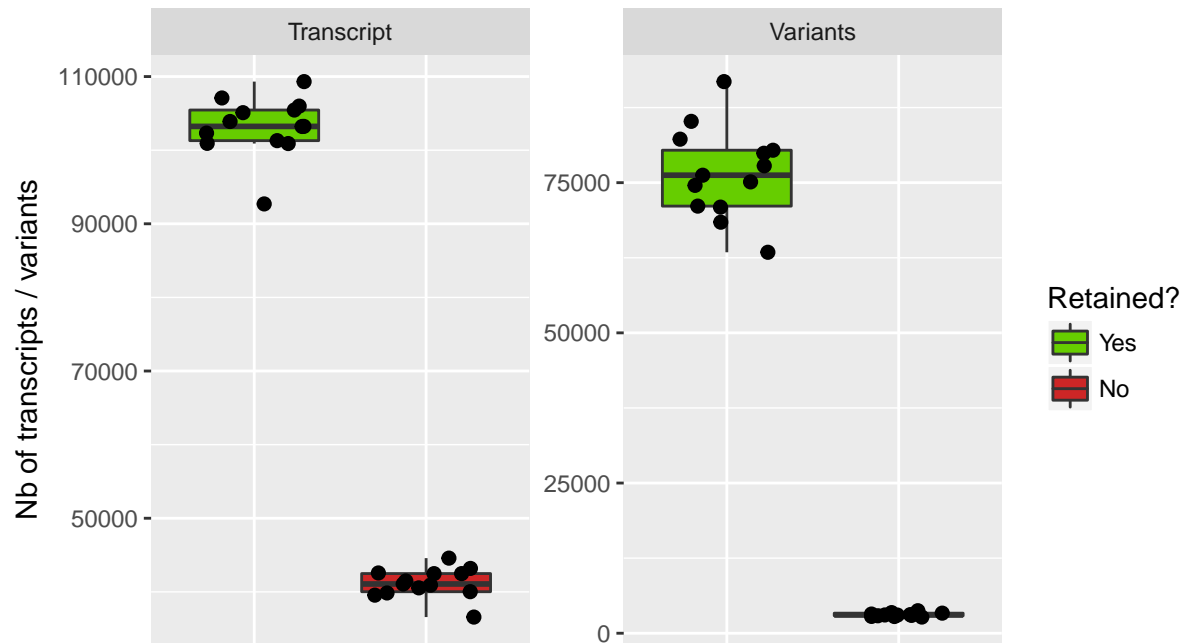
**Figure 4.4** – Annotation des variants par VEP : **\*\*A\*\*** : Quantification du nombre de gènes (en bleu) / transcrits (en rose) impactés par au moins un variant pour chaque patient chacun représentés par une barre. **\*\*B\*\*** : Distribution des impact HIGH MODERATE LOW et MODIFIER en fonction des patients et du génotype du variant. **\*\*C\*\*** : Pourcentage de nos variants retrouvés au sein des trois bases de données : ExAC, ESP et 1KG. **\*\*D\*\*** : Distribution des fréquences de nos variants au sein des trois bases de données : ExAC, ESP et 1KG



**Résultats du filtrage** Les étapes précédentes nous ont permis de mettre en évidence pour chaque patient une liste de variants passant l'ensemble de nos critères qualités. Ces variants ont dès lors put être annotés nous permettant entre autres d'avoir connaissance de leurs impacts sur les différents transcrits qu'ils chevauchent ou encore leur fréquence dans la population générale. Désormais, afin de ne conserver que les variants ayant la plus forte probabilité d'être responsable du phénotype de ces patients, nous avons appliqué successivement six filtres basés à la fois sur les différentes annotations que nous avons ajoutées mais aussi sur nos connaissances du mode de transmission du phénotype :

1. **Filtre 1 : L'union des variants** : Dans ces différentes études, nous avons à chaque fois séquencé des duos ou des trios d'individus provenant de même fratries et étant caractérisés par le même phénotype. Ainsi nous avons pu formuler l'hypothèse d'une cause génétique commune entre les différents patients d'une même famille et donc filtrer l'ensemble des variants qui ne sont pas partagés par l'ensemble des membres de la fratrie.
2. **Filtre 2 : Génotype des variants** : Dans ces études, nous avons émis l'hypothèse d'une transmission récessive du phénotype. Ainsi, seul les variants homozygotes ont été conservés. (**Figure : ??, ??**).
3. **Filtre 3 : Impact du variant** : Afin de ne conserver que les variants ayant un effet potentiellement tronquant sur la protéine, nous avons filtré les variants intronique et ceux tombant dans les séquences UTRs. De même les variants synonymes ne sont pas conservés (exceptés ceux se trouvant proches des régions d'épissage) car ceux-ci n'ont aucun effet sur séquences protéique. Pour les variants faux sens (changement d'un seul aa de la séquence protéique) il est plus difficile de se décider [TODO insert citation] nous avons donc utilisé les logiciels SIFT (Kumar, Henikoff, & Ng, 2009) et Polyphen (Adzhubei et al., 2010) et filtré l'ensemble des faux-sens prédit comme *tolerated* par SIFT et *benign* par Polyphen.
4. **Filtre 4 : Les transcrits "non pertinents"** : Au cours de nos analyses nous nous sommes concentré uniquement sur les transcrits codant pour une protéine. Ainsi, l'ensemble des transcrits annotés comme étant non codant furent filtrés. De même Le mécanisme NMD (*nonsense-mediated decay*) a pour but de contrôler la qualité des ARNm cellulaires chez les eucaryotes (Y.-F. Chang, Imam, & Wilkinson, 2007) en éliminant les ARNm qui comportent un codon stop prématuré (Baker & Parker, 2004), pouvant être le résultat d'une erreur de transcription, d'une mutation ou encore d'une erreur d'épissage. Il est donc peu probable que les variants présents sur transcrits annotés NMD soient responsables du phénotype. Dès lors, ces transcrits furent eux aussi filtrés. Ainsi, nous avons pu retirer de nos listes de variants l'ensemble des mutations impactant **uniquement** des transcrits non codant et / ou annoté NMD. Cette étape de filtre permet à elle seule de systématiquement filtrer entre 36576 et 44581 transcrits différents par patients, soit une moyenne de NaN variants par

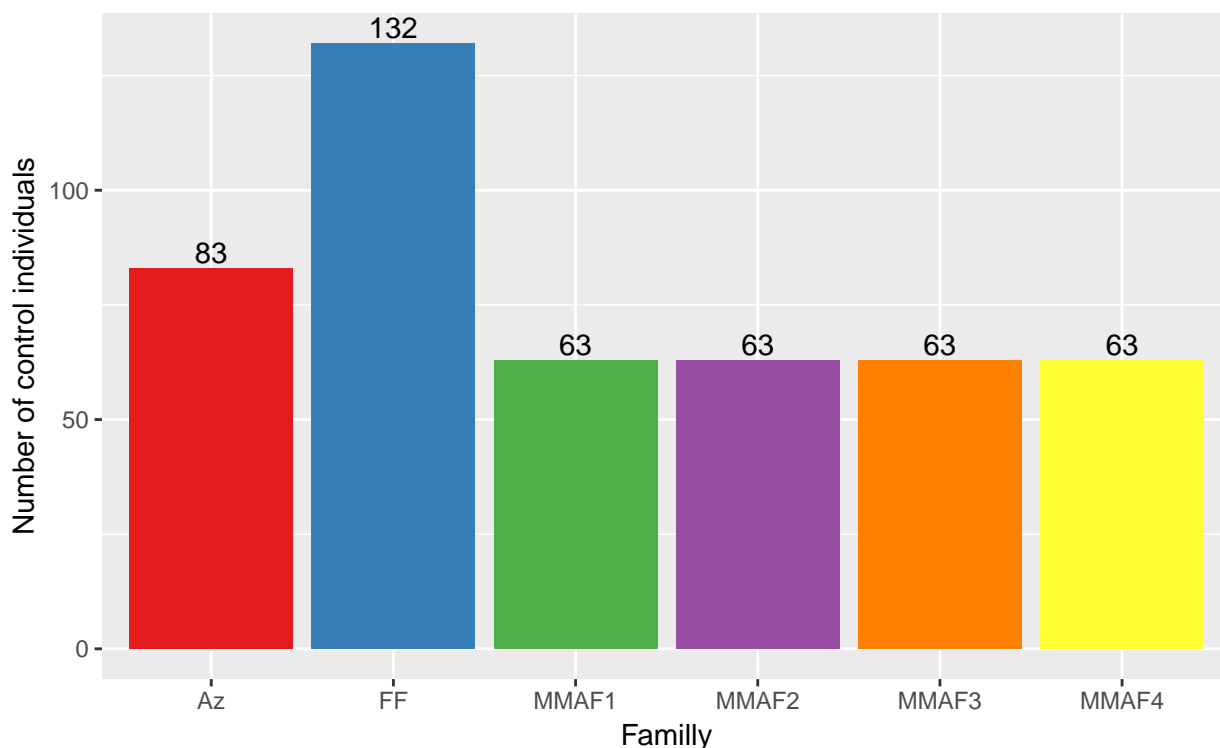
individus (**Figure : 4.5**).



**Figure 4.5** – Filtrage des transcrits jugés "non pertinents" et des variants les chevauchant : Pour chaque patients nous avons filtrer les transcrits jugés "non pertinents" pour l'analyse, c'est à dire ceux ne codant pas pour une protéine et ceux annoté NMD. Dès lors, l'intégralité des variants chevauchant uniquement des transcrits non pertinents ont put systématiquement être filtrés (boites rouges). les autres furent conservés (boites vertes)

5. **Fréquence des variants** : La fréquence d'un variant dans la population générale est un moyen rapide d'avoir un avis sur l'effet délétère de celui-ci. En effet, il est peu probable qu'un retrouvé fréquemment dans la population générale soit causal d'une pathologie sévère. Ainsi nous avons filtré pour l'ensemble de nos patients l'ensemble des variants ayant une fréquence  $\geq 0.01$  dans l'une des trois bases de données que sont ExAC, ESP et 1KG.
6. **Présence des variants dans la cohorte contrôle** : Au cours de nos différentes études, nous avons été amenés à séquencé 134. L'ensemble de ces individus peuvent être soit sains soit présenter l'un des 6 phénotypes étudié au cours de nos différentes études (**Table : ??**). Ces phénotypes étant très différent, il n'est pas aberrant d'émettre l'hypothèse qu'ils que leurs causes génétiques le soient également. De même, les variants recherchés étant rares, il est peu probable qu'un individu porte les variants de deux phénotypes différents. Ainsi, pour chacune des 6 familles, nous avons pu constituer une cohorte contrôle composée dans l'ensemble des patients précédemment analysés et ne présentant pas le

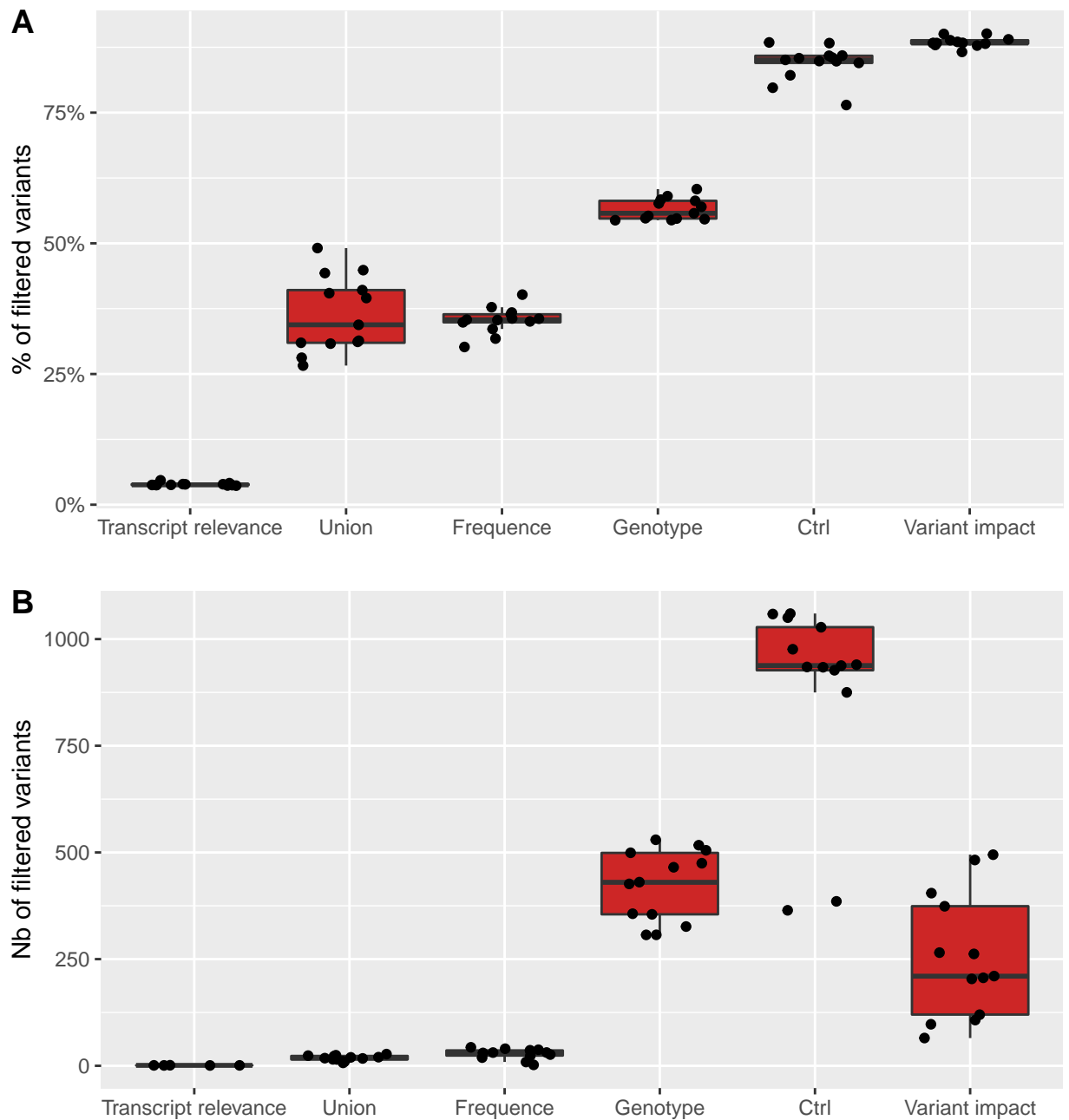
même phénotype que celui étudié dans la famille (**Figure : 4.6**). Dès lors, nous avons pu filtrer l'ensemble des variants retrouvés à la fois chez nos patients et observés à l'état homozygote dans la cohorte contrôle.



**Figure 4.6** – Nombre d'individus composant la cohorte contrôle de chaque famille : Ici, chaque barre représente une famille et sa hauteur est déterminée par le nombre d'individus composant la cohorte contrôle à laquelle elle a été confrontée. Chaque individu de la cohorte contrôle a été séquencés en WES par notre équipe. Afin d'être considéré comme "contrôle" et intégrer cette cohorte, un individu doit être sain ou présenter un phénotype d'infertilité différent de la famille étudiée. Par exemple, un individus MMAF pourra servir de contrôle aux familles AZ et FF mais pas aux familles MMAF1-4

Comme on pouvait s'y attendre, ces six filtres ont un pouvoir discriminant extrêmement différent (**Figure : 4.7**). En effet, tandis que le filtre "Transcript relevance" (filtre n°4) élimine en moyenne 3.9 % des variants de chaque individu tandis que le filtre "Variant impact" (filtre n° 3) élimine jusqu'à 90.1 % de ces mêmes variants (**Figure : 4.7 - A**). Cette différence n'est pas surprenante. En effet, comme nous l'avions vu plus tôt, les variants de la catégorie VEP MODIFIER qui regroupe entre autres les variants chevauchant les séquences UTRs et introniques (**Table :**) représentent en moyenne ... % des variants de nos patients (**Figure : 4.4 - A**). Ceux-ci étant tous filtrés, on s'attendait donc à une valeur aussi élevée. On peut également constater l'importance de la cohorte contrôle qui, je le rappelle, permet de filtrer l'ensemble des variants homozygotes observés en son sein, puisque ce filtre permet retirer entre 76.5 et 88.4% des variants de chaque individus (**Figure : 4.4 - A**).

Cependant, regarder uniquement le pourcentage de variants filtrés par chaque filtre révèle une information partielle. En effet, dans ce cas de figure, on observe la quantité de variant éliminé par chaque filtre indépendamment les uns des autres. Ainsi, un même variant peut donc être filtré par plusieurs filtres. Dès lors, il faut également analyser la quantité de variants filtrés **spécifiquement** par chaque filtre. Ainsi, on peut constater que le classement des filtres en fonctions de leur stringence reste quasi identique (**Figure : 4.7 - B**) il est tout de même intéressant de noter que désormais le filtre "Variant impact" apparaît moins efficace que les filtres "Ctrl" et "Genotype" en filtrant spécifiquement une moyenne de 253 variants par individu contre 423 pour le filtre génotype et 882 pour le filtre "Ctrl". Ainsi, ce dernier devient celui filtrant spécifiquement le plus de variants avec entre 364 et 1060 variants spécifiquement filtrés par patients confirmant ainsi l'importance de ce filtre dans nos analyses. Aussi, les filtres "Transcript relevance", "Union" et "Frequency" apparaissent désormais comme étant anecdotiques en comparaison aux trois autres filtres puisqu'ils filtrent au maximum 43 variants spécifiques (**Figure : 4.7 - B**).



**Figure 4.7** – Comparaison de l'efficacité de chacun des six filtres utilisés : **\*\*A\*\*** : Comparaison du pourcentage de variants filtrés par chacun des six filtres indépendamment les uns des autres pour chaque patient (représenté par les points. Dès lors, un même variants peut être filtré par plusieurs filtres. **\*\*B\*\*** : Comparaison du nombre de variant filtrés spécifiquement par chacun des filtres. Ici, un variant ne peut-être filtré que par un seul filtre

Après avoir appliqué l'ensemble de ces filtres, seuls quelques variants subsistent nous permettant d'obtenir une liste de gènes restreinte pour chaque famille (**Table : 4.3**) et ainsi de tirer des conclusions quant au variant responsable du phénotype.

1. **Famille AZ** : Parmi les 2 gènes restant pour cette famille, *SPINK2* est apparu comme étant un candidat évident. Notamment son expression étant spécifique au testicule tandis que celle de *GUF1* est ubiquitaire (TODO fig). De plus, des mutations du gène *Spink2* chez la souris avait déjà été identifiée comme induisant des défauts de la spermatogenèse (Lee et al., 2011).
2. **Famille FF** : Pour cette famille, le gène *PLCζ1* a passé l'ensemble des filtres. Nos connaissances sur la fonction de ce gène et notamment son rôle dans l'activation ovocytaire (TODO : REF) on fait de ce gène le candidat idéal pour expliquer le phénotype de ces deux frères.
3. **Famille MMAF1** : L'analyse bibliographique des 2 gènes ayant passé l'ensemble des filtres n'a ici pu nous permettre de d'affirmer que l'un de ces gènes étaient responsable du phénotype MMAF de ces 2 frères.
4. **Famille MMAF2** : À l'issue des filtres, 2 gènes ressortaient chez ces deux frères : *MYH11* et *DNAH1*. Or, notre équipe ayant déjà, il y a quelques années établi le lien entre des mutations du gène *DNAH1* et le syndrome MMAF (Ben Khelifa et al., 2014) ce gène s'est révélé être un candidat idéal pour expliquer le phénotype de ces 2 frères. De plus, l'implication de *MYH11* dans le phénotype de dissection aortique (Imai et al., 2015) l'ont écarté des candidats pour le phénotype MMAF.
5. **Famille MMAF3** : Comme pour les gènes de la famille MMAF2, l'analyse bibliographique des 5 gènes ayant ici passé les filtres de même que l'étude de leurs expressions ne nous a pas permis de conclure que l'un d'entre eux étaient responsable du phénotype MMAF de ces 2 frères.
6. **Famille MMAF4** : Seul le gène *TGIF2* a passé l'ensemble des filtres pour la famille MMAF4. L'expression ubiquitaire de ce gène n'en font pas un candidat idéal. Cependant une étude de 2011 effectuée sur le wallaby décrit que la protéine TGIF2 localise spécifiquement dans le cytoplasme du spermatozoïde, ainsi que dans le corps résiduel et la pièce intermédiaire du flagelle du spermatozoïde mature (Hu, Yu, Shaw, Renfree, & Pask, 2011). Ces données pourraient corrélérer avec le phénotype MMAF de ces 3 frères.

**Table 4.3** – Liste des gènes ayant passé l'ensemble des filtres pour chaque famille

AZ	FF	MMAF1	MMAF2	MMAF3	MMAF4
SPINK2	PLCZ1	PLA2G4B	MYH11	PCSK5	TGIF2
GUF1		JMJD7-PLA2G4B	DNAH1	WEE2	
				GBP2	
				FCGR3A	
				ZFYVE28	

## Discussion

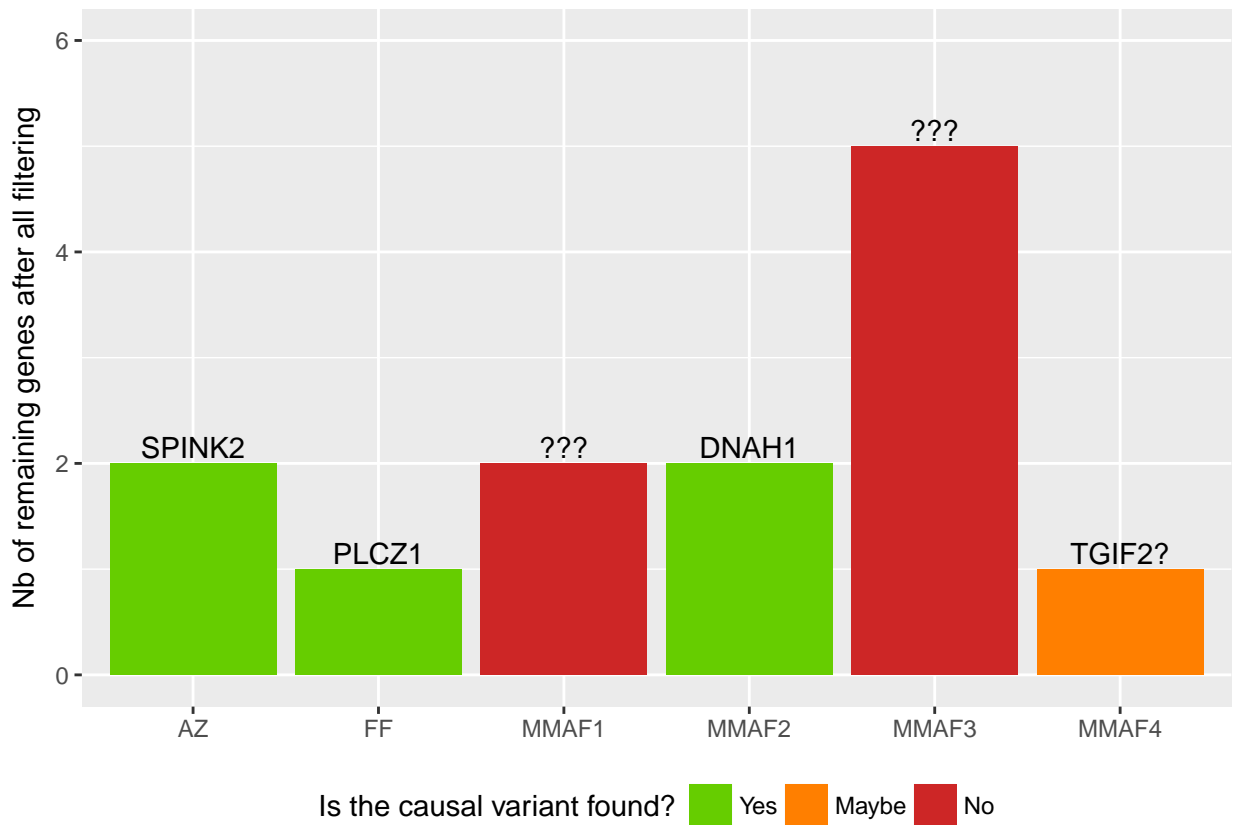
L'analyse de ces 6 familles nous a permis de mettre en évidence l'efficacité de notre pipeline d'analyse puisque pour 3 d'entre elles (soit 50%) le variant causal a pu être identifié avec certitude (**Figure : 4.8**) et les résultats publiés dans trois revus dont je suis co-auteur :

1. **Famille AZ : SPINK2 deficiency causes infertility by inducing sperm defects in heterozygotes and azoospermia in homozygotes** : Dans cet article j'ai effectué non seulement l'intégralité des analyses bioinformatiques des données d'exomes de deux frères infertiles présentant un phénotype d'azoospermie mais aussi séquencer en Sanger les séquences codantes du gène *SPINK2* pour une partie des 611 individus analyser ainsi que contribué à l'extraction de l'ARN testiculaire des souris pour l'analyse fonctionnelle du gène *Spink2* sur le modèle murin.
2. **Famille FF : Homozygous mutation of PLCZ1 leads to defective human oocyte activation and infertility that is not rescued by the WW-binding protein PAWP** : Dans cet article j'ai, effectué l'intégralité des analyses bioinformatiques des données d'exomes effectués sur deux frères infertiles présentant des échecs de fécondation.
3. **Famille MMAF2 : Whole-exome sequencing of familial cases of multiple morphological abnormalities of the sperm flagella (MMAF) reveals new DNAH1 mutations** : Dans cet article j'ai, comme précédemment, effectué l'ensemble des analyses bioinformatiques des données d'exomes effectués sur deux frères infertiles présentant des échecs de fécondation.

Pour une d'entre elle, un candidat potentiel a pu être mis en évidence avec le gène *TGIF2* et notre équipe travaille actuellement sur la caractérisation de ce gène afin de savoir s'il peut effectivement expliquer le phénotype MMAF de cette famille (**Figure : 4.8**).

Pour les 2 familles restantes, aucun variant n'a pu pour l'instant expliquer leur phénotype. L'explication la plus vraisemblable est que le variant ait été filtré par l'un de nos six filtres, probablement celui consistant à filtrer l'ensemble des variants hétérozygotes. En effet, l'hypothèse d'un variant causal homozygote était extrêmement crédible pour les familles AZ, FF et MMAF2 étant donné l'historique consanguin de ces 3 familles dont les parents sont à chaque fois apparentés. En revanche rien ne laisse supposé une telle chose pour les familles restantes. Cependant, le filtre des variants hétérozygotes pour l'ensemble des patients de ces 3 familles a été maintenu en première intention afin de faciliter les analyses en réduisant au maximum le nombre de variant. Au vu des résultats il apparaît clair que les variants responsables de leur phénotype aient été filtrés pour au moins 2 de ces familles. Dès lors, l'ensemble des analyses effectuées lors de l'étape de filtrage doivent être refaites en changeant les paramètres de filtrage. Cette fois-ci, les variants hétérozygotes seront conservés et les gènes sur lesquels au moins deux variants hétérozygotes seront recensés seront analysés en priorité. En effet, bien que les analyses exomiques nous fournissent en l'état pas d'informations suffisante pour savoir si ces deux variants sont présent sur le même allèle ou bien sur deux allèles différents, cela pourrait-être la signature de variants hétérozygotes composites. C'est donc sur ces analyses que se concentre actuellement notre équipe.





**Figure 4.8** – Nombre de gènes passant l'ensemble des filtres par famille : Chaque barre représente une des familles analysées. La hauteur de cette barre correspond au nombre de gènes ayant passé l'ensemble des filtres pour chaque famille. Les barres vertes caractérisent les familles pour lesquelles le gène responsable de la pathologie a été identifié parmi la liste de gène (dans ce cas le symbole du gène est écrit au-dessus de la barre). La barre orange caractérise la famille pour laquelle un candidat potentiel a été identifié (le symbole du gène est écrit au-dessus suivi d'un "?"). Les barres rouges indiquent qu'aucun des gènes ayant passé les filtres pour ne semble expliquer le phénotype (dans ce cas il est écrit "???" au-dessus de la barre)

## 4.2.3 Etude d'une large cohorte de patients MMAF

### Description de la cohorte

Historique : après avoir mis en évidence DNAH1 -> MMAF notre équipe s'est en partie spécialisé dans ce syndrome.

ainsi, entre (année) et année, notre équipe a effectué le séquençage de ... individus présentant ce phénotype afin d'en établir la cause génétique. parmi ces patients, la majorité provenait d'Afrique du Nord, cependant ... venaient de et de ... ces séquençage ont été effectué dans ... centres différents que sont (listes des centre de séquençage) et sur ... plateforme : liste des plateformes

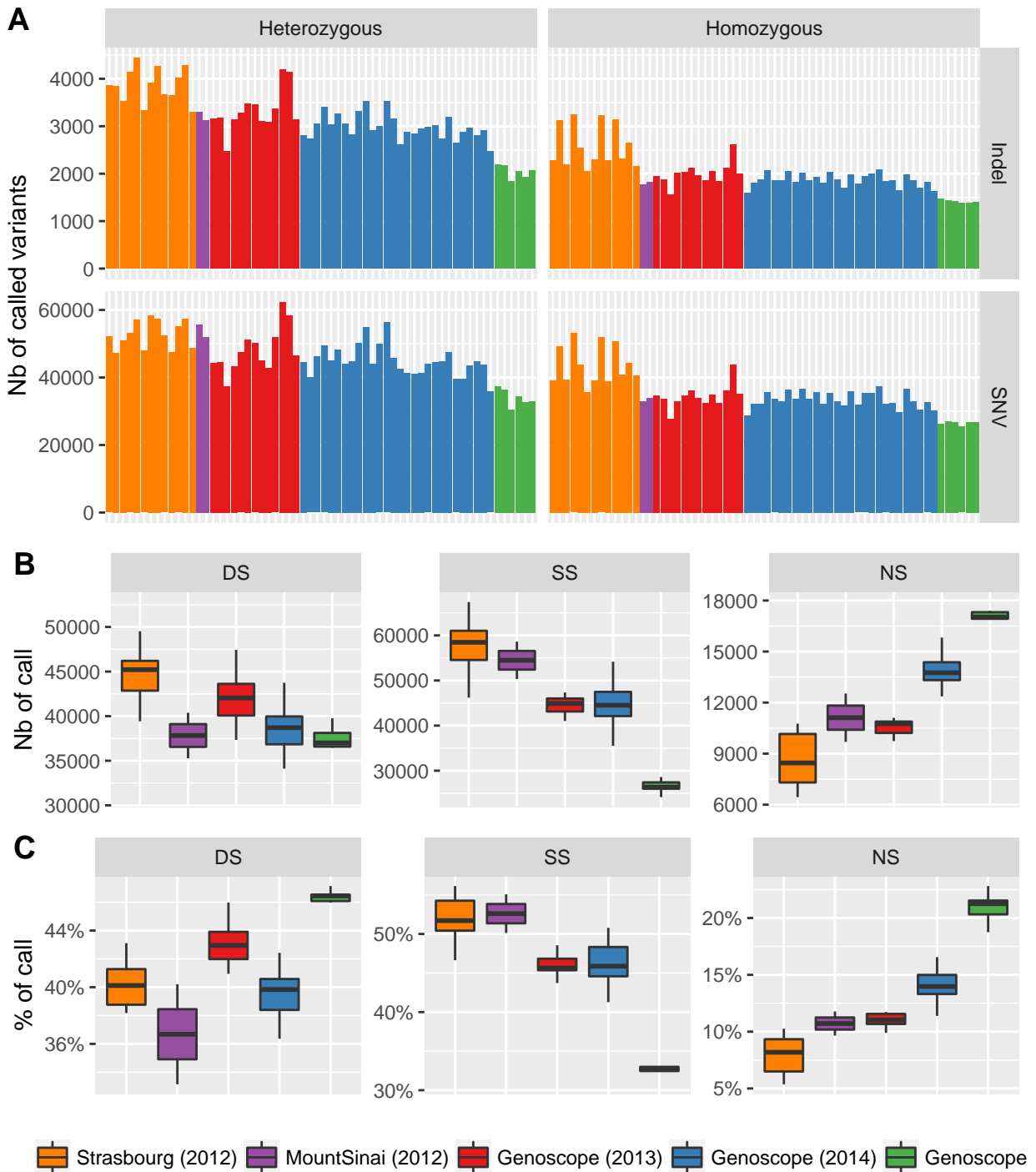
**Table 4.4** – Liste des différents projets de séquençages effectués

Place	Year	Nb of sequenced individuals
MountSinai	2012	2
Strasbourg	2012	13
Genoscope	2013	13
Genoscope	2014	28
Genoscope	2015	6

## Application de la pipeline - Résultats

Après avoir appelé les variants de nos ... patients, nous avons obtenu un total de 4484558 variants différents comprenant 4160274 SNVs et 324284. Ces variants étant répartis entre chaque patient qui portait environ chacun 81618 SNV et 5148 indels dont 0 % étaient homozygotes. Comme on peut le voir, la proportion de chaque appel est relativement homogène lorsque l'on compare les patients ayant été séquencés dans le même centre la même année. Cependant, il est possible de noter de grandes disparités lorsque l'on compare les données provenant de différents centres ou bien du même centre avec plusieurs années de différences. Ces écarts peuvent être causés par plusieurs facteurs, tel que les différents kits de capture d'exons qui ont pu être utilisés puisque ... (todo lister les différents kits de capture dans une table) en revanche nous pouvons écarter un effet dû à la plateforme de séquençage ou encore le modèle de séquenceur puisque tous ces projets ont été réalisés sur des Illumina HiSeq2000 (**Table : 4.4**) (**Figure : 4.9 - A**).

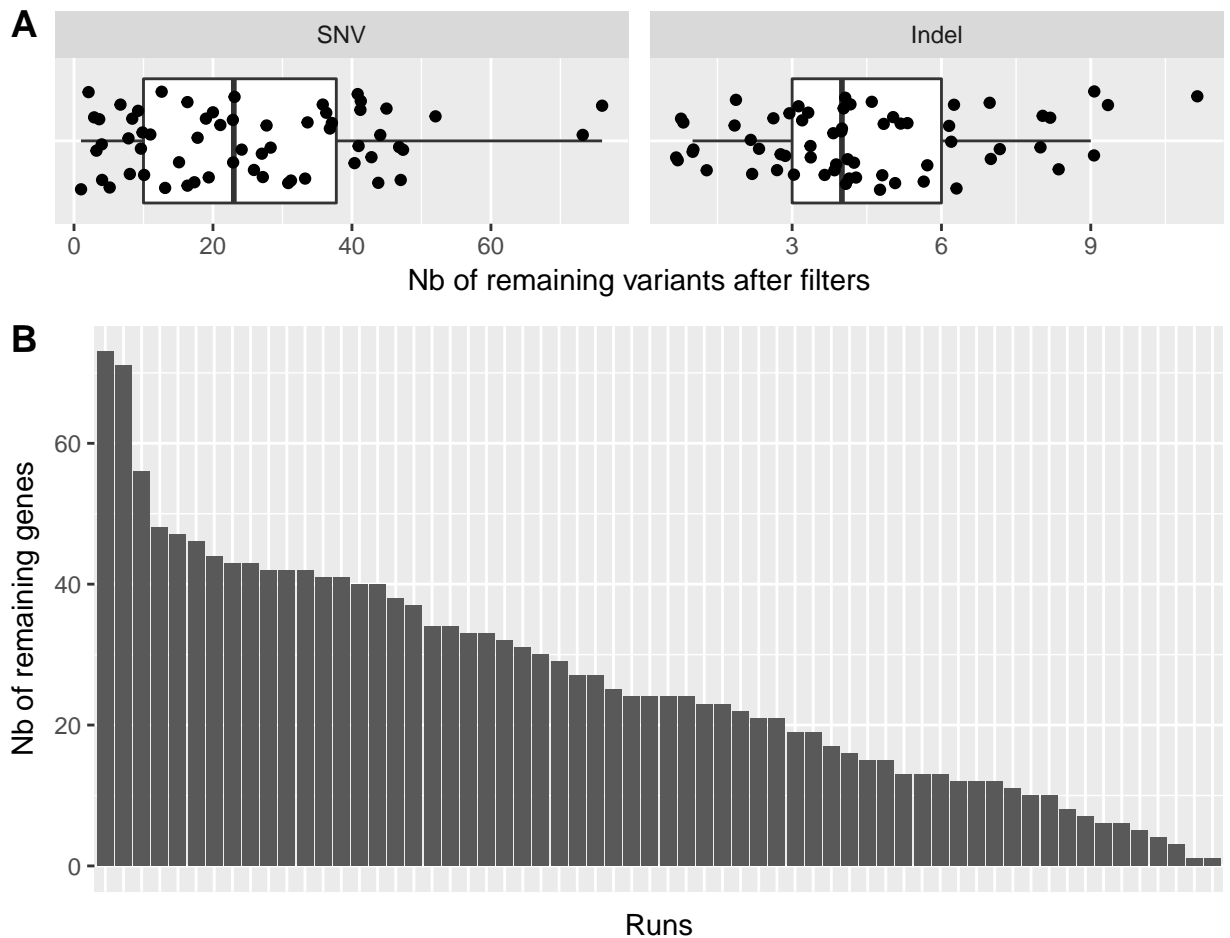
Le même constat peut être effectué lorsque l'on compare la qualité des appels puisque plus les projets de séquençage s'avèrent être récents, plus la proportion d'appel *Single Strand* s'avère être faible tandis que la proportion d'appel *Double Strand* (DS) est élevée. Ceci est une bonne chose, car, bien que ces deux appels soient conservés dans les analyses ultérieures, les appels DS sont de meilleure qualité que les appels SS. Cette augmentation des appels DS au cours du temps pourrait s'expliquer par une amélioration des protocoles de séquençage ainsi que des kits de capture. En revanche cela est à pondérer avec le taux croissant d'appels *No-strand* (NS) au fur et à mesure des années pour atteindre environ ... % en (... Année) avec un projet réalisé au Génoscope. Ces derniers appels étant systématiquement filtrés, ils n'altéreront en rien les résultats obtenus en aval hormis le fait qu'ils réduisent la quantité des données utilisées (**Figure : 4.9 - B et C**).



**Figure 4.9** – Résultats de l'appel des variants par individus et par projet de séquençage : Chaque couleur définit un projet de séquençage caractérisé par un centre de séquençage et une année. **\*\*A\*\*** : Quantification pour chaque individus (représentés par les barres) du nombre de variants (SNVs et Indels) appelés homozygotes et hétérozygotes. **\*\*B\*\*** : Quantification des appels *\*Double Strand\** (DS), *\*Single Strand\** (SS) et *\*No strand\** (NS) pour chaque projet de séquençage. **\*\*C\*\*** : Même chose en pourcentage

## Analyse des listes de gènes

Après avoir appliqué les mêmes filtres que ceux décrit précédemment à l'exception du filtre n°. . . Union puisqu'ici nous avons uniquement des individus non apparentés, nous avons put obtenir une liste de 1568 variants différents composés de 1359 SNVs et 209 indels et impactant un total de 1306 gènes distincts. Ces variants étant répartis sur l'ensemble de nos . . . patients ceux-ci portaient en moyenne 25 SNVS et 4 indels, de sorte que chacun d'entre eux avaient entre 1 et 73 gènes impactés par au moins un variants (**Figure : 4.10 - A et B**).



**Figure 4.10** – TODOOOOOOOOOOOOOOOOOOOOOOOO : **\*\*A\*\*** : Quantification du nombre de SNVs et indels ayant passé l'ensemble des filtres pour chaque patients. **\*\*B\*\*** : Nombre de gènes impactés par au moins un variant ayant passé les filtres pour chaque individus représentés par les barres. **\*\*C\*\*** : Présentation

***DNAH1*, un acteur primordial dans le phénotype MMAF** Parmi l'ensemble de nos patients, 3 révélèrent porter au moins un variant passant l'ensemble des filtres sur le gène *DNAH1*, candidat évident pour ce phénotype. Ainsi, le patient Ghs90 porte 3 variants successifs induisant 3 variation faux-sens, le patient Ghs95 porte lui un seul variant entraînant lui aussi un faux-sens et le patient Ghs122 porte un indel entraînant un décalage du cadre de lecture (**Table : 4.5**).

Ainsi, au vu de ces premières analyses, des variants dans le gène *DNAH1* seraient responsables du phénotype MMAF de 3 patients. Cependant, comme nous l'avons vu précédemment, bien que la stratégie consistant à filtrer l'ensemble des variants hétérozygotes chez les individus apparentés, celle-ci peut dans le cas d'individus non apparentés entraîner le filtrage du / des variants responsables du phénotype. C'est pourquoi nous avons ensuite cherché des patients potentiellement composites, c'est à dire des patients portant au moins deux allèles **différents** mutés sur le même gène. Pour cela, nous avons recensé l'ensemble des patients portant au moins deux variants hétérozygotes différents sur le gène *DNAH1*. Cette stratégie nous a ainsi permis de découvrir 6 nouveaux patients pour lesquels le gène *DNAH1* serait responsable du phénotype MMAF. Il faut tout de même noter, qu'en raison de la non connaissance du phasage des variants dans le cas de séquençage WES, le génotype de ces 6 patients est à confirmer de sorte à être certains que les deux variants se situent bien sur deux allèles différents de *DNAH1*, un sur celui provenant du père et un autre sur celui provenant de la mère. Le génotype de ces patients est

Néanmoins, les mutations du gène *DNAH1* seraient ainsi responsables du phénotype MMAF de 15 % des individus de notre cohorte. Bien que ce pourcentage soit en deça des 40% (TODO : à confirmer!) observés dans notre étude précédente (Ben Khelifa et al., 2014), ces résultats tendent à confirmer le rôle primordial de la protéine DNAH1 dans la la structure du flagelle et l'implication majeure du gène *DNAH1* dans le phénotype MMAF.

La cause génétique expliquant le phénotype MMAF ayant été identifié avec certitude chez au moins 3 de ces 9, l'intégralité de leurs variants spécifiques (retrouvés chez aucun autre patients) fut retirée de notre liste réduisant celle-ci à 1458 variants impactant 1221 gènes différents.

**Table 4.5** – liste des variants passant les filtres et chevauchant le gène  
\*DNAH1\*

Run ID	Variant coordinates	Genotype	Consequence	Gene symbol
Ghs122	3-52414073-CC-C	Homozygous	frameshift	DNAH1
Ghs90	3-52382919-A-C	Homozygous	missense	DNAH1
Ghs90	3-52382920-T-C	Homozygous	missense	DNAH1
Ghs90	3-52382922-T-C	Homozygous	missense	DNAH1
Ghs95	3-52422540-C-G	Homozygous	missense	DNAH1
Ghs129	3-52409423-T-A	Heterozygous	missense	DNAH1
Ghs129	3-52423486-C-G	Heterozygous	missense	DNAH1
Ghs28	3-52361911-A-G	Heterozygous	missense	DNAH1
Ghs28	3-52366296-A-G	Heterozygous	missense	DNAH1
Ghs36	3-52362004-T-G	Heterozygous	missense	DNAH1
Ghs36	3-52391702-C-T	Heterozygous	stop gained	DNAH1
Ghs42	3-52407000-G-A	Heterozygous	missense	DNAH1
Ghs42	3-52417872-C-G	Heterozygous	splice region	DNAH1
Ghs87	3-52387600-G-A	Heterozygous	missense	DNAH1
Ghs87	3-52420751-A-C	Heterozygous	missense	DNAH1
Ghs88	3-52383006-G-A	Heterozygous	missense	DNAH1
Ghs88	3-52391648-G-A	Heterozygous	missense	DNAH1





Cette analyse nous a ainsi permis de mettre en évidence . . . nouveaux acteurs potentiels pour le phénotype MMAF impliquant . . . de nos patients. Ayant conservé uniquement les variants homozygotes au cours de nos filtre, nous avons comme précédemment (introduire le truc u niveau de dnaH1) chercher à savoir si parmi les individus restant de la cohorte, certains ne seraient pas hétérozygotes composites.

1. **WDR96** :

2. **WDR52** :

3. **FSIP2** :

4. **CCDC146** :

L'étude de ces gènes nous a tout d'abord permis d'identifier deux gènes : le gène *WDR96* (récemment renommé *CFAP43*) et le gène *WDR52* récemment renommé *CFAP44*). Ces gènes ont respectivement été retrouvés mutés chez 6 et 3 patients. En plus du nombre important de patients portant une mutation tronquante sur ces gènes (**Table** : 4.6 et 4.7), tout deux sont retrouvés comme étant sur-exprimés dans le testicule dans les bases de donnée publiques. De même, ces deux gènes avaient déjà été décrits dans la littérature comme étant impliqués dans la structure et / ou le fonctionnement du flagelle spermatique (Ivliev, 't Hoen, Roon-Mom, Peters, & Sergeeva, 2012). Ces informations ont ainsi fait de ces deux gènes des candidats idéaux pour expliquer le phénotype d'au moins 8 de ces 9 individus. En effet, au vu de l'incertitude de l'effet de la mutation impactant le patient . . . , c'est à dire un variant intronique situé dans la région d'épissage, la causalité de ce variant dans le phénotype du patient est elle aussi incertaine.

Cette étude nous a permis également de relever 3 patients présentant des mutations dans le gènes *FSIP2* (**Table** : 4.8. Comme pour les gènes *WDR96* et *WDR52*, ce gène présente une forte et quasi exclusive expression testiculaire. De plus, une équipe a démontré en 2003 l'implication de ce gène dans la structure de la gaine fibreuse su flagelle spermatique (Brown, Miki, Harper, & Eddy, 2003) faisant également de ce gène un excellent candidat dans l'explication du phénotype MMAF de ces patients.

Après avoir identifié la cause génétique du phénotype MMAF de ces 15 patients (3 patients *DNAH1*, 6 *WDR96*, 3 *WDR52* et 3 *FSIP2*) grâce à des variants homozygotes, nous avons chercher l'ensemble des patients pouvant être hétérozygotes composites sur l'un de ces 4 gènes, .

Ainsi, cette stratégie nous a permis d'identifier 6 nouveaux patients présentant des mutation sur le gène *DNAH1*, 1 autres sur *WDR96* et 5 sur *FSIP2*. Aucun fut trouvé avec au moins deux mutations hétérozygotes sur le gène *WDR52*. Il faut tout de même noter la limite de cette approche dûe au fait de la non connaissance du phasage des variants, c'est à dire qu'il nous est impossible de déterminer si les deux variants sont situés sur le même allèle ou bien sur deux allèles différents.

Cette première analyse nous a donc permis

**Table 4.6** – liste des variants passant les filtres et chevauchant le gène  
\*WDR96\*

Run ID	Variant coordinates	Genotype	Consequence	Gene symbol
Ghs102	10-105905296-TT-T	Homozygous	frameshift	WDR96
Ghs105	10-105912486-T-G	Homozygous	splice acceptor	WDR96
Ghs126	10-105921781-G-A	Homozygous	stop gained	WDR96
Ghs17	10-105928535-C-T	Homozygous	stop gained	WDR96
Ghs25	10-105944769-C-T	Homozygous	splice region	WDR96
Ghs41	10-105928513-G-A	Homozygous	stop gained	WDR96
Ghs132	10-105953765-A-AA	Heterozygous	frameshift	WDR96
Ghs132	10-105963485-A-G	Heterozygous	missense	WDR96

**Table 4.7** – liste des variants passant les filtres et chevauchant le gène  
\*WDR52\*

Run ID	Variant coordinates	Genotype	Consequence	Gene symbol
Ghs22	3-113063450-G-A	Homozygous	stop gained	WDR52
Ghs34	3-113114596-C-T	Homozygous	splice donor	WDR52
Ghs89	3-113119409-G-A	Homozygous	missense	WDR52

**Table 4.8** – liste des variants passant les filtres et chevauchant le gène  
\*FSIP2\*

Run ID	Variant coordinates	Genotype	Consequence	Gene symbol
Ghs131	2-186603611-C-T	Homozygous	missense	FSIP2
Ghs20	2-186654145-A-AA	Homozygous	frameshift	FSIP2
Ghs21	2-186618487-AC-A	Homozygous	frameshift	FSIP2
Ghs101	2-186603536-T-C	Heterozygous	missense	FSIP2
Ghs101	2-186611436-C-T	Heterozygous	missense	FSIP2
Ghs122	2-186658089-C-A	Heterozygous	missense	FSIP2
Ghs122	2-186661399-A-G	Heterozygous	missense	FSIP2
Ghs40	2-186626721-A-T	Heterozygous	missense	FSIP2
Ghs40	2-186660476-A-G	Heterozygous	missense	FSIP2
Ghs40	2-186671231-A-T	Heterozygous	missense	FSIP2
Ghs92	2-186626721-A-T	Heterozygous	missense	FSIP2
Ghs92	2-186671231-A-T	Heterozygous	missense	FSIP2
Ghs95	2-186626721-A-T	Heterozygous	missense	FSIP2
Ghs95	2-186671231-A-T	Heterozygous	missense	FSIP2

## Disscution

L'analyse de cette cohorte de ... patients MMAF nous à la fois permis de confirmer l'importance de l'implication du gène *DNAH1* dans ce phénotype grâce à 9 patients présentant des variants sur ce gène, mais aussi de mettre en évidence de nouveaux gènes impliqués dans ce phénotype. Ainsi, notre pipeline d'analyse a permis d'identifier la cause génétique induisant le phénotype MMAF chez ... individus de notre cohorte, soit chez ... % des individus la composant.

Ces résultats ont permis l'écriture de ... articles dont je suis co-auteur :

1. **Whole exome cohort study and analysis of mouse and Trypanosoma models demonstrate the importance of WDR proteins in flagellogenesis and male fertility**, *Nat Genet* (soummis) : Cette article présente nos différents résultats dans la caractérisation des gènes *WDR96* et *WDR52* ainsi que les différentes preuves de leur implication dans le phénotype MMAF.
2. (papier *DNAH1*) :

Les résultats sur le gène *FSIP2* ne sont pour l'instant pas publiés, notre équipe travaillant à l'heure actuelle à la caractérisation de ce gène.

## 4.3 Conclusion



# Chapitre 5

## MutaScript



## Conclusion





## Chapitre 6

### The First Appendix



# References

- Adzhubei, I. A., Schmidt, S., Peshkin, L., Ramensky, V. E., Gerasimova, A., Bork, P., ... Sunyaev, S. R. (2010). A method and server for predicting damaging missense mutations. *Nature Methods*, 7(4), 248–9. <http://doi.org/10.1038/nmeth0410-248>
- Baker, K. E., & Parker, R. (2004). Nonsense-mediated mRNA decay : terminating erroneous gene expression. *Current Opinion in Cell Biology*, 16(3), 293–9. <http://doi.org/10.1016/j.ceb.2004.03.003>
- Ben Khelifa, M., Coutton, C., Zouari, R., Karaouzène, T., Rendu, J., Bidart, M., ... Ray, P. F. (2014). Mutations in DNAH1, which encodes an inner arm heavy chain dynein, lead to male infertility from multiple morphological abnormalities of the sperm flagella. *American Journal of Human Genetics*, 94(1), 95–104. <http://doi.org/10.1016/j.ajhg.2013.11.017>
- Brown, P. R., Miki, K., Harper, D. B., & Eddy, E. M. (2003). A-Kinase Anchoring Protein 4 Binding Proteins in the Fibrous Sheath of the Sperm Flagellum. *Biology of Reproduction*, 68(6), 2241–2248. <http://doi.org/10.1095/biolreprod.102.013466>
- Chang, Y.-F., Imam, J. S., & Wilkinson, M. F. (2007). The Nonsense-Mediated Decay RNA Surveillance Pathway. *Annual Review of Biochemistry*, 76(1), 51–74. <http://doi.org/10.1146/annurev.biochem.76.050106.093909>
- DePristo, M. A., Banks, E., Poplin, R., Garimella, K. V., Maguire, J. R., Hartl, C., ... Pritchard, E. (2011). A framework for variation discovery and genotyping using next-generation DNA sequencing data. *Nature Genetics*, 43(5), 491–498. <http://doi.org/10.1038/ng.806>
- Hu, Y., Yu, H., Shaw, G., Renfree, M. B., & Pask, A. J. (2011). Differential roles of TGIF family genes in mammalian reproduction. *BMC Developmental Biology*, 11, 58. <http://doi.org/10.1186/1471-213X-11-58>
- Imai, Y., Morita, H., Takeda, N., Miya, F., Hyodo, H., Fujita, D., ... Komuro, I. (2015). A deletion mutation in myosin heavy chain 11 causing familial thoracic aortic dissection in two Japanese pedigrees. *International Journal of Cardiology*, 195, 290–292. <http://doi.org/10.1016/j.ijcard.2015.05.178>
- Ivliev, A. E., 't Hoen, P. A. C., Roon-Mom, W. M. C. van, Peters, D. J. M., &

- Sergeeva, M. G. (2012). Exploring the Transcriptome of Ciliated Cells Using In Silico Dissection of Human Tissues. *PLoS ONE*, 7(4), e35618. <http://doi.org/10.1371/journal.pone.0035618>
- Kumar, P., Henikoff, S., & Ng, P. C. (2009). Predicting the effects of coding non-synonymous variants on protein function using the SIFT algorithm. *Nature Protocols*, 4(7), 1073–1081. <http://doi.org/10.1038/nprot.2009.86>
- Lee, B., Park, I., Jin, S., Choi, H., Kwon, J. T., Kim, J., ... Cho, C. (2011). Impaired spermatogenesis and fertility in mice carrying a mutation in the Spink2 gene expressed predominantly in testes. *The Journal of Biological Chemistry*, 286(33), 29108–17. <http://doi.org/10.1074/jbc.M111.244905>
- Lek, M., Karczewski, K. J., Minikel, E. V., Samocha, K. E., Banks, E., Fennell, T., ... Exome Aggregation Consortium, D. G. (2016). Analysis of protein-coding genetic variation in 60,706 humans. *Nature*, 536(7616), 285–91. <http://doi.org/10.1038/nature19057>
- Lunter, G., & Goodson, M. (2011). Stampy : A statistical algorithm for sensitive and fast mapping of Illumina sequence reads. *Genome Research*, 21(6), 936–939. <http://doi.org/10.1101/gr.111120.110>
- McLaren, W., Gil, L., Hunt, S. E., Riat, H. S., Ritchie, G. R. S., Thormann, A., ... Cunningham, F. (2016). The Ensembl Variant Effect Predictor. *Genome Biology*, 17(1), 122. <http://doi.org/10.1186/s13059-016-0974-4>
- Nielsen, R., Paul, J. S., Albrechtsen, A., & Song, Y. S. (2011). Genotype and SNP calling from next-generation sequencing data. *Nature Reviews. Genetics*, 12(6), 443–51. <http://doi.org/10.1038/nrg2986>
- Su, Z., Łabaj, P. P., Li, S. S., Thierry-Mieg, J., Thierry-Mieg, D., Shi, W., ... Shi, L. (2014). A comprehensive assessment of RNA-seq accuracy, reproducibility and information content by the Sequencing Quality Control Consortium. *Nature Biotechnology*, 32(9), 903–14. <http://doi.org/10.1038/nbt.2957>